

خواص گرمایی نانونوارهای لبه دندانه‌ای گرافنی

فرشته مسعودی‌نیا، روح‌اله فرقدان*

گروه فیزیک، دانشکده علوم، دانشگاه کاشان، کاشان، ایران

دریافت: 1396/09/25 ویرایش نهایی: 1398/03/19 پذیرش: 1398/04/05

چکیده

این مقاله به بررسی تئوری خواص گرمایی نانونوارهای لبه دندانه‌ای گرافنی، با لبه‌های آرمچیری و زیگزاگی در ابعاد و هندسه متفاوت می‌پردازد. به منظور محاسبه طیف پاشندگی فونونی، ظرفیت گرمایی و خواص انتقال گرما، از مدل ثابت نیرو با در نظر گرفتن چهار همسایه نزدیک و نظریه لاندائور استفاده شده است. نتایج محاسبات نشان می‌دهد که خواص گرمایی مورد مطالعه در مقایسه با نانونوارهای کامل به‌ویژه در فرکانس‌های پایین، تفاوت چشمگیری دارند، در مدهای آکوستیکی، رسانش گرمایی فونونی و ضریب عبور فونونی به علت ساختار متفاوت لبه‌ها در مقایسه با نانونوارهای کامل و در نتیجه پراکندگی فونونی از لبه‌ها کاهش می‌یابند. همچنین ظرفیت گرمایی نیز تغییرات قابل توجهی مشاهده شده است، محاسبه مدهای فونونی داخل و خارج از صفحه نیز نشان می‌دهد مدهای داخل صفحه نقش بیشتری در رسانش گرمایی دارند. این نتایج می‌تواند در بهینه‌سازی و طراحی نانوقطعات الکترونیکی و ترموالکتریکی مفید باشد.

کلیدواژه‌گان: نانونوارهای لبه دندانه‌ای گرافنی، ضریب عبور فونونی، ظرفیت گرمایی فونونی، ضریب رسانش گرمایی فونونی

مقدمه

سبب کاهش رسانش گرمایی می‌شود [15, 16]. بررسی‌های صورت گرفته در این ساختارها نشان می‌دهد که، ویژگی‌های مختلف هندسی مانند طول و عرض بازوها و همچنین زوایای بین هر یک از بازوها اثرات مهمی بر روی خواص ترموالکتریکی دارند و می‌توانند بدون کاهش رسانش الکترونی، موجب بهبود چشمگیر خواص گرمایی مانند ضریب سیبک، ZT و ترموالکتریک سیستم شوند [7, 13, 17, 18]. در این میان تهی‌جای‌های گسترده نیز خواص گرمایی نانونوارهای آرمچیری گرافنی را به شدت تحت تأثیر خود قرار می‌دهند [19].

این مقاله به مطالعه چگونگی تغییرات رسانش فونونی و ظرفیت گرمایی نانونوارهای لبه دندانه‌ای گرافنی در چهار ساختار هندسی مختلف می‌پردازد. از آنجایی که رسانش گرمایی به شدت به ساختار هندسی حساس

سهام عمده رسانش گرمایی در ساختارهای مختلف گرافیت توسط فونون‌ها صورت می‌گیرد [1]. رسانش گرمایی در نانونوارهای گرافنی و گرافن توسط فونون و به‌ویژه فونون‌های آکوستیکی صورت می‌گیرد [2, 3]. شکل لبه می‌تواند تأثیر به‌سزایی در رسانش گرمایی داشته باشد، به طوری که رسانش گرمایی نانونوار لبه زیگزاگی به‌طور محسوسی، از رسانش نانونوار لبه آرمچیری به دلیل تفاوت بین محدوده پراکندگی فونونی بیشتر می‌باشد [1, 4, 5]. اخیراً با استفاده از آخرین پیشرفت‌ها در سنتز نانونوارها، ساختارهایی از نانونوارهای گرافنی با نام نانونوارهای لبه دندانه‌ای گرافنی تولید شده است [6-15]. رسانش گرمایی این ساختارها به‌صورت محدودی مورد بررسی قرار گرفته است و نتایج نشان می‌دهد که ساختار هندسی لبه‌ها

* نویسنده مسئول: rfarghadan@kashanu.ac.ir



محاسبات تئوری

در این مقاله از روش‌های ثابت نیرو برای محاسبه ماتریس دینامیکی و طیف فونونی و روش لاندائور برای محاسبه رسانش فونونی، ضریب عبور و ظرفیت گرمایی و با استفاده از برنامه‌نویسی در محیط متلب است.

مدل ثابت نیرو

با استفاده از مدل ثابت نیرو، رابطه پاشندگی نانونوارهای لبه دندانهای گرافنی محاسبه می‌شود، برای تشکیل ماتریس دینامیکی به صورت رابطه 1 نیروهای بین اتمی در تقریب هماهنگ ساده مانند ثابت‌های فنر در نظر گرفته می‌شوند [19]:

$$D^{ij}(k) = \left(\sum_j K^{(ij'')} - M_i \omega^2(k) I \right) \delta_{ij} - \sum_j K^{(ij')} e^{ik \cdot R_{ij'}} \quad 1$$

در رابطه بالا $R_i - R_j = \Delta R_{ij}$ مختصات نسبی اتم i ام با توجه به اتم j ام است. ارتعاش اتم i ام توسط ماتریس ثابت نیرو K^{ij} به اتم j ام جفت می‌شود، که یک ماتریس 3×3 را تشکیل می‌دهد، این ماتریس را می‌توانید در مرجع [1] مشاهده کنید. جمع روی "j" جمع روی تمام مکان‌های همسایه اتم i ام، با $K^{(ij'')} \neq 0$ است، جمع روی "j" جمع روی تمام مکان‌های معادل اتم j ام است. k بردار شبکه وارون و M_i جرم اتم کرین است. محاسبات مربوط به ماتریس دینامیکی تا همسایگی چهارم در نظر گرفته شده است. ماتریس ثابت نیرو نیز از رابطه زیر به دست می‌آید [19,20]:

$$K^{(A,B_m)} = U_m^{-1} K^{(A,B_1)} U_m \quad (m=2,3) \quad 2$$

U_m ماتریس دوران حول محور Z است، که اتم B_1 را به جایگاه اتم B_m می‌برد. علت استفاده از ماتریس‌های

است برای کاهش رسانش گرمایی به منظور افزایش ضرایب سیبک و کارایی قطعات ترموالکتریکی بررسی خواص ترموالکتریکی و گرمایی ساختارهای هندسی مختلف امری ضروری و اجتناب ناپذیر است. رویکرد اصلی در این طراحی‌ها آن است که با طراحی‌های مختلف لبه و ساختار، رسانش گرمایی نسبت به رسانش الکتریکی کاهش بیشتری داشته باشد و این امر در نهایت موجب بهبود ضرایب ترموالکتریکی می‌گردد. سهم مدهای مختلف فونونی و اثرات آرایش هندسی لبه‌ها در خواص گرمایی نانونوارهای لبه دندانهای تاکنون مورد بررسی قرار نگرفته است [7,13-15,17]. نتایج ما در این پژوهش نشان می‌دهد، این نوع نانونوارهای لبه دندانهای به دلیل کوچک بودن ضرایب رسانش گرمایی نسبت به نانونوارهای کامل، با کنترل خواص الکتریکی می‌توانند ضرایب ترموالکتریکی مناسب‌تری را پیش‌بینی کنند. نانونوارهای لبه دندانهای گرافنی انتخاب شده دارای تعداد اتم‌ها و لبه‌های متفاوت می‌باشند. نشان داده خواهد شد که این جزییات ساختاری متفاوت، می‌تواند اثرات متفاوتی در خواص تراورد گرمایی نانونوارهای لبه دندانهای گرافنی ایجاد نماید. به منظور بررسی دقیق سهم مدهای فونونی متفاوت در رسانش گرمایی، سهم مدهای فونونی درون صفحه‌ای و بیرون صفحه‌ای در دماهای پایین به صورت ویژه مورد بررسی قرار گرفته است. نتایج محاسبات نشان می‌دهد، که مدهای فونونی درون صفحه‌ای در دماهای کوچکتر، سهم بیشتری را در خواص گرمایی از خود نشان می‌دهد و تغییرات این نوع مدها به ویژه در مورد ظرفیت گرمایی نانونوارهای لبه دندانهای در حضور لبه‌های دندانهای محسوس تر است.

پاشندگی از مدهای گسسته S را در بیشترین و کمترین مقدار خود بیان می‌کند [21]:

$$\tau_S(\omega) = \begin{cases} 1 & \text{for } \omega_S^{\min} \leq \omega \leq \omega_S^{\max} \\ 0 & \text{otherwise} \end{cases} \quad 5$$

به منظور افزایش دقت محاسبات فاصله بین ω_S^{\max} و ω_S^{\min} را 1 cm^{-1} انتخاب کرده‌ایم. روش به کار گرفته شده در محاسبات فونونی روش ترابرد لاندائور به همراه تقریب نوسانگر هارمونیک می‌باشد. در این روش فرض می‌شود شبه‌ذرات فونونی بدون پراکندگی از کانال عبور می‌کنند که با توجه به طول همدوسی بالای فونونی در گرافن این تقریب می‌تواند تقریب مناسبی باشد. رابطه 5 مقاله بیانگر این موضوع می‌باشد که در هر فرکانسی که یک شاخه مجاز فونونی وجود داشته باشد، ضریب عبور نیز متناسب با آن شاخه در آن فرکانس خاص برابر با یک می‌باشد. اگر تعداد شاخه‌ها افزایش یابد به همان میزان ضریب عبور نیز افزایش می‌یابد. لذا ضریب عبور می‌تواند مقادیری بیشتر از یک هم داشته باشد و این موضوع تنها به تعداد شاخه‌های فونونی و یا کمیت آشنای چگالی حالت‌های فونونی در آن فرکانس خاص مربوط می‌شود. دقت شود در این روش چگالی حالت‌های فونونی با ضریب عبور دقیقاً برابر می‌باشد، که بدین معناست که هر شاخه فونونی مجاز می‌تواند یک فونون را عبور دهد. ما به منظور افزایش دقت محاسبات اختلاف فرکانس بیشینه و کمینه را بسیار کوچک (از مرتبه 1) انتخاب نموده‌ایم، و همین موضوع سبب تغییرات سریع و پلکانی در نمودار ضریب عبور فونونی در شکل 2 می‌گردد.

در نهایت ضریب رسانش گرمایی را می‌توان به صورت $k_{ph} = \frac{J_{ph}}{\Delta T}$ تعریف کرد. در این رابطه ΔT به صورت $\Delta T = T_{hot} - T_{cold}$ می‌باشد. از معادله شار انرژی

دوران این است که زوایای اتم‌ها متفاوت است، ماتریس دوران برای چرخش‌های عمود بر صفحه نانو، به صورت زیر می‌باشد:

$$U_m = \begin{pmatrix} \cos\theta_m & \sin\theta_m & 0 \\ -\sin\theta_m & \cos\theta_m & 0 \\ 0 & 0 & 1 \end{pmatrix} \quad 3$$

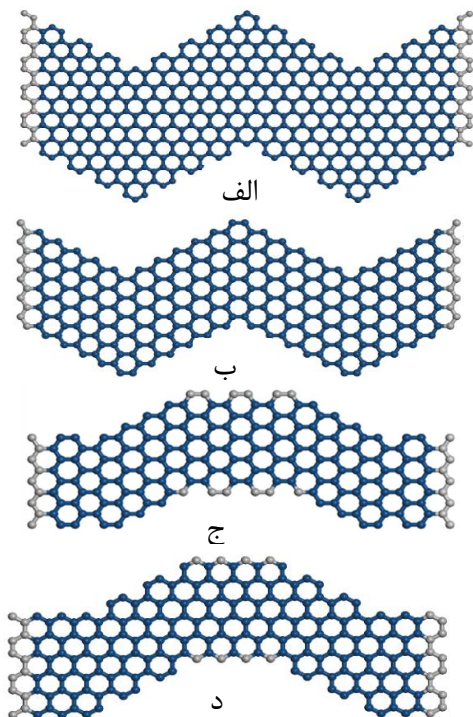
ماتریس دینامیکی با مشخص شدن ماتریس‌های ثابت نیرو برای تمامی همسایه‌ها، تشکیل می‌شود. ابعاد ماتریس دینامیکی $3N \times 3N$ است؛ این امر به علت آزادی عمل اتم‌ها در سه جهت، هنگامی که درون سلول N اتم وجود دارد می‌باشد. مثلاً برای ساختار الف در شکل 1 که ابرسلولی دارای 250 اتم است، ابعاد ماتریس‌های دینامیکی 750×750 خواهند بود که با قطری‌سازی دقیق آن‌ها، می‌توان فرکانس‌های مجاز طیف فونونی نانونوارهای لبه دندان‌های گرافنی را برحسب بردار شبکه وارون k به دست آورد.

روش لاندائور

ضریب عبور فونونی برای نانونوارهای لبه دندان‌های گرافنی گرافنی را با استفاده از روش لاندائور می‌توان محاسبه کرد. با داشتن ضریب عبور فونونی و جایگذاری آن در رابطه 4 ظرفیت گرمایی در حجم ثابت نیز به دست می‌آید [21,22]:

$$C_v = 3rk_B \int_0^\infty d\omega \left(\frac{\hbar\omega}{2k_B T} \right)^2 \frac{\tau_S(\omega)}{\sinh^2 \left(\frac{\hbar\omega}{2k_B T} \right)} \quad 4$$

در رابطه 4، $\tau_S(\omega)$ ضریب عبور فونونی و $\hbar\omega$ انرژی فونون است. در این روش عبور شبه‌ذرات فونونی از کانال کاملاً الاستیک در نظر گرفته شده است. همچنین فرض می‌شود که تمامی اتصالات بالستیک و کاملاً بی‌درو هستند؛ در نتیجه تابع ضریب عبور برای مد دلخواه S به صورت یکنواخت پراکنده شده، و در رابطه 5 نمایش داده شده است. در این رابطه، $\omega_S(q)$



شکل 1 الف) نانویگلی با لبه‌های آرمچیری AA، ب) نانویگلی با لبه‌های زیگزاگی ZZ، ج) نانویگلی با لبه‌های آرمچیری و زیگزاگی AZAZ و د) نانویگلی با لبه‌های زیگزاگی و آرمچیری ZAZA. اتم‌های لبه‌های آرمچیری و زیگزاگی موردنظر که نام‌گذاری ساختارها براساس آن‌ها صورت گرفته است با رنگ طوسی روشن در شکل مشخص شده‌اند.

برای تولید این ساختارها ما نانونوارهای گرافنی را رسم می‌کنیم و شکل لبه را با توجه به ساختار مورد نظر با حذف اتم‌های لبه‌ای ایجاد می‌کنیم. سپس برحسب فاصله همه همسایگی‌ها تا مرتبه چهارم شناسایی شده و طبق توضیحات رابطه 1 ماتریس دینامیکی ساخته می‌شود.

در شکل 1 ساختار ابرسلول هر چهار ساختار نانونوارهای دندانه‌ای گرافنی مشخص شده است. به‌منظور بهبود کارایی قطعات ترموالکتریکی تلاش بر آن است که بدون کاهش خواص رسانایی الکترونی، ضرایب رسانش گرمایی این قطعات کاهش یابد. از آنجا

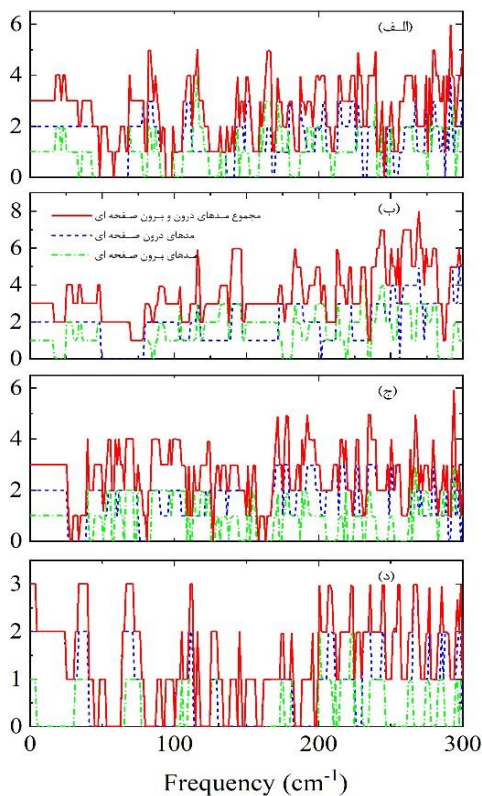
گرمایی (J_{ph}) و با جای‌گذاری $x = \frac{\hbar\omega}{k_B T}$ می‌توان معادله رسانش فونونی را به‌صورت زیر به‌دست آورد [21,22]:

$$\kappa_{ph} = \frac{k_B^2 T}{h} \int_0^\infty dx \frac{x^2 e^x}{(e^x - 1)^2} \tau \left(x \frac{k_B T}{\hbar} \right) \quad 6$$

معادله 6، با در نظر گرفتن سهم تمام مدهای فونونی مجاز، ضریب رسانش فونونی را مشخص می‌کند. در این عبارت یک نتیجه مهم این است که منحنی پراکندگی از تمام جزئیات به‌جز تابع عبور مستقل است. این نتیجه از آنجا ناشی می‌شود که چگالی حالت‌ها در انتگرال فرکانس به‌وسیله سرعت گروه حذف می‌شود. برای رسم نمودار رسانش فونونی از $\frac{\kappa_{ph}}{\kappa_0}$ استفاده می‌شود که $\kappa_0 = \frac{\pi^2 k_B^2 T}{3h}$ به‌صورت می‌باشد [21].

نتایج و بحث

در این محاسبات نانونوارهای لبه دندانه‌ای گرافنی با چهار آرایش که شامل لبه‌های متفاوتی هستند نمایش داده شده است (شکل 1). قسمت الف و ب به‌ترتیب دارای 250 و 144 اتم در هر ابرسلول است که با اتصال دو بخش نانونواری با لبه‌های یکسان آرمچیری و یا زیگزاگی با زاویه 120 درجه تشکیل شده‌اند و به‌صورت AA و ZZ نام‌گذاری می‌شوند، شکل‌های ج و د به‌ترتیب دارای 192 و 216 اتم کربن در هر ابرسلول که با اتصال دو بخش نانونواری با لبه‌های مختلف آرمچیری و زیگزاگی با زاویه 150 درجه تشکیل شده‌اند که به‌ترتیب به‌صورت AZAZ و ZAZA نام‌گذاری شده‌اند. همان‌طور که در شکل 1 مشهود است ساختارهای لبه دندانه‌ای همان شکل ساختاری نانونوار زیگزاگ و آرمچیر را دارا هستند که شکل لبه‌های آن‌ها تغییر کرده یا برش داده شده است.



شکل 2. ضرب عبور فونونی نانونوارهای لبه دندانه‌ای گرافنی با ساختار هندسی متفاوت (در محدوده فرکانس پایین تا متوسط). خط ممتد مربوط به مجموع مدهای درون و برون صفحه‌ای، خط چین مربوط به مدهای خارج از صفحه و خط-نقطه مربوط به مدهای داخل صفحه است. نانونوارهای لبه دندانه‌ای الف) با لبه‌های AA، ب) با لبه‌های ZZ، ج) با لبه‌های AZAZ و د) با لبه‌های ZAZA.

دندانه‌ای در مقایسه با نانونوارهای گرافنی نوسانات بسیار بیشتری دارد. این موضوع با توجه به اندازه بزرگتر سلول‌های این ساختار و موقعیت‌های متفاوت هندسی اتم‌های کربن که منجر به افزایش چشمگیر تعداد شاخه‌های فونونی می‌گردد، قابل توجه می‌باشد. جالب توجه آنکه در همه ساختارها در محدوده فرکانس‌های $(\omega > 800 \text{ cm}^{-1})$ سهم مدهای خارج از صفحه‌ای صفر می‌شود و تنها ضرب عبور برای شاخه فونونی درون صفحه‌ای مقدار خواهد داشت.

که ضرایب عبور الکترونی و فونونی در ساختارهای مختلف می‌توانند رفتار متفاوتی از خود نشان دهند، در ادامه مقاله ما به بررسی اثرات ساختار هندسی در رسانش گرمایی می‌پردازیم. مهمترین دلیل رفتار دوگانه ساختار هندسی در ترابرد الکترونی و گرمایی به این مسئله معطوف می‌شود که، بر خلاف رسانش الکترونی، عمده سهم رسانش گرمایی توسط فونون‌هایی با انرژی پایین صورت می‌گیرد. همچنین از آنجا که مدهای فونونی خارج صفحه‌ای در فرکانس‌های پایین جمعیت متفاوتی از مدهای درون صفحه‌ای دارند، سهم هر دو نوع مد فونونی را به تفکیک مورد بررسی قرار می‌دهیم. در شکل 2، ضرایب عبور رسانش فونون‌ها در محدوده فرکانسی 300 cm^{-1} نمایش داده شده است. مقایسه ساختارهای هندسی متفاوت (لبه‌های AA، ZZ، AZAZ و ZAZA). نشان می‌دهد، که ساختار داخلی ابرسلول‌ها می‌تواند ضرایب عبور فونونی را در تمام محدوده‌های فرکانسی تغییر دهد.

نکته قابل توجه آن که مدهای درون صفحه‌ای حتی در حضور شکستگی در ساختار نانونوارهای کامل نیز سهم بیشتری در ضرایب عبور فونونی نسبت به مدهای درون صفحه‌ای دارند، به ویژه در فرکانس‌های $(\omega < 20 \text{ cm}^{-1})$ این موضوع دیده می‌شود. در شکل الف در فرکانس‌های آکوستیکی سهم مدهای درون از صفحه بسیار بیشتر از سهم مدهای خارج صفحه‌ای می‌باشد، سپس ضرب عبور فونونی با افزایش فرکانس یک روند کاملاً نوسانی پیدا می‌کند. که البته در چندین فرکانس در محدوده فرکانسی $(0 < \omega < 200 \text{ cm}^{-1})$ ضرب عبور صفر می‌شود. ضرب عبور ساختارهای لبه

در شکل 2 ب همانند دیگر ساختارها در محدوده فرکانس‌های بسیار پایین سهم مدهای درون صفحه‌ای آکوستیکی دو برابر سهم مدهای برون صفحه‌ای می‌باشد که با توجه به دو درجه آزادی اتم‌های کربن در صفحه گرافن و یک درجه آزادی در راستای عمود آن قابل توصیف می‌باشد. همچنین از آنجا که جزئیات ضریب عبور برحسب فرکانس فونونی به شدت تغییر می‌کند. می‌توان انتظار داشت که ظرفیت حرارتی و ضریب رسانندگی گرمایی فونون‌ها نیز با توجه به تغییرات شکل لبه ساختارهای لبه دندانهای متفاوت خواهد بود. در محدوده فرکانسی ($80 < \omega < 100 \text{ cm}^{-1}$) شاهد کاهش چشم‌گیر ضریب عبور و بیشتر شدن سهم مدهای خارج صفحه‌ای در مقایسه با سهم مدهای درون صفحه‌ای هستیم. که نشان‌دهنده رفتار غیر قابل پیش‌بینی مدهای فونونی در محدوده‌های نوسانی مختلف می‌باشد. رفتارهای مشابهی در شکل‌های ج و د دیده می‌شود، که هرچند از نظر جزئیات اندازه و رفتار ضریب عبور برای دو نوع مد درون و بیرون صفحه‌ای متفاوت هستند اما وجود نوسان‌های شدید در ضریب عبور را پیش‌بینی می‌کنند.

از طرف دیگر مقایسه ضرایب عبور فونونی در ساختارهایی با لبه‌های آرمچیری و زیگزاگی نشان می‌دهد، نه تنها بازوهای متصل شده با زاویه به نانونوارها می‌تواند در تغییرات ضرایب عبور فونونی مؤثر باشد، بلکه هندسه لبه‌ها نیز نقش به‌سزایی در تغییر خواص گرمایی می‌تواند داشته باشد. این تغییرات در بازه‌های فرکانسی مختلف، متفاوت بوده و رفتاری منظم و قابل پیش‌بینی ارائه نمی‌کند، و در محدوده‌های فرکانسی مختلف دارای تفاوت‌های محسوسی با یکدیگر هستند. همان‌طور که در شکل قابل مشاهده است در فرکانس‌های آکوستیکی نمودار ضریب عبور فونونی هر چهار ساختار بسیار متفاوت هستند. در

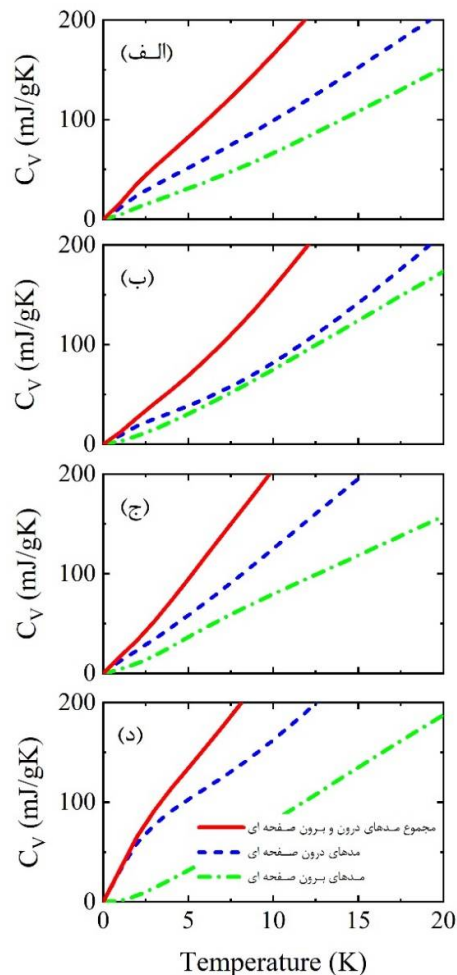
فرکانس‌های ($\omega < 300 \text{ cm}^{-1}$) به صورت کلی ضریب عبور فونونی یک روند نوسانی با تغییرات سریع دارد و سهم مدهای درون از صفحه در ضریب عبور فونونی بیشتر از سهم مدهای بیرون صفحه‌ای است دقت شود برخلاف شکل 2-الف و ب که لبه‌ها یکپارچه آرمچیری و یا زیگزاگی هستند در شکل 2-ج و د ترکیبی از لبه‌های آرمچیری و زیگزاگی را مشاهده می‌کنیم.

در شکل 3 تغییرات دمایی ظرفیت گرمایی برای مدهای فونونی درون و بیرون صفحه‌ای در چهار ساختار لبه دندانهای (نمایش یافته در شکل 1) رسم شده است. به منظور مقایسه ظرفیت گرمایی از آنجا که ابرسلول‌های مختلف تعداد اتم‌های متفاوتی دارند؛ ظرفیت گرمایی محاسبه شده، به تعداد اتم‌های ابرسلول تقسیم شده است. اما به دلیل وابستگی ویژگی‌های تراپردی به جزئیات اتمی و بلوری ساختارها، رفتار ویژگی‌های تراپردی در دماهای متفاوت یکسان نخواهد بود. به عنوان مثال، ضرایب عبور فونونی در برخی فرکانس‌ها کاهش و در برخی دیگر افزایش می‌یابد (شکل 2)، این موضوع می‌تواند تأثیرات مختلفی به‌ویژه در دماهای پایین، که مدهای فونونی کوچک و با تعداد کمتر حضور دارند ایجاد نماید.

نتایج محاسبات ما نشان می‌دهد حتی در حضور بازوهای با زوایای مختلف نیز، منحنی ظرفیت گرمایی رفتاری سهمی‌گون برحسب دما نشان می‌دهد. در نتیجه رفتار کیفی ظرفیت گرمایی نانونوارهای لبه دندانهای گرافنی در حضور بازو تغییر نمی‌کند. مقایسه سهم مدهای درون صفحه‌ای و بیرون صفحه‌ای نیز نشان می‌دهد، سهم عمده ظرفیت گرمایی در حضور بازوها متعلق به مدهای فونونی درون صفحه‌ای می‌باشد.

می‌دهد که مدهای بیرون صفحه مربوط به نانونوارهای کامل در دماهای کمتر از 5 کلوین دارای مقدار غیرصفر هستند در حالی که مدهای بیرون صفحه مربوط به نانونوارهای لبه دندان‌های در این دماها می‌تواند حتی مقدار صفر نیز داشته باشد. اگر ظرفیت گرمایی نانونوارهای لبه دندان‌های را با ظرفیت گرمایی نانونوارهایی با تهی‌جای‌های گسترده در نظر بگیریم متوجه تفاوت فاحش این نمودارها می‌شویم [19]. در نانونوارهایی با تهی‌جای‌های گسترده مدهای داخل صفحه و خارج از صفحه همپوشانی دارند در حالی که در نمودارهای شکل 3 می‌توان مشاهده کرد سهم مدهای داخل صفحه و خارج از صفحه بسیار با یکدیگر متفاوت است و در همه ساختارهای مورد بررسی سهم مدهای درون صفحه‌ای از بیرون صفحه‌ای به صورت محسوسی بیشتر می‌باشد (این موضوع در دماهای بالاتر نیز صادق می‌باشد، که در دماهای بالاتر در این مقاله نشان داده نشده است). لازم به ذکر است که با افزایش دما ظرفیت حرارتی به مقدار ثابت 2078 (mJ/gK) می‌رسد که تأیید کننده رفتار کلاسیکی ظرفیت حرارتی نانونوارها در دماهای بالا می‌باشد.

در شکل 4، ضرایب رسانش فونونی برحسب دما در محدوده دمای پایین، برای نانونوارهای لبه دندان‌های با لبه‌های مختلف به تفکیک، برای مدهای درون و بیرون صفحه‌ای رسم شده است. به دلیل پهن‌شدگی با لبه‌های مختلف به تفکیک، برای مدهای درون و بیرون صفحه‌ای رسم شده است. به دلیل پهن‌شدگی ناشی از تابع توزیع بوز-اینشتن، تابع رسانش برحسب دما از خود رفتاری پله‌ای نشان نمی‌دهد. به صورت کلی، ضریب رسانش فونونی برای مدهای درون صفحه‌ای و مدهای بیرون صفحه‌ای رفتاری سهمی‌گون برحسب دما مشاهده می‌شود.



شکل 3. ظرفیت گرمایی نانونوارهای لبه دندان‌های گرافنی با ساختار هندسی متفاوت (در محدوده فرکانس پایین). خط ممتد مربوط به مجموع مدهای درون و بیرون صفحه‌ای، خط چین مربوط به مدهای خارج از صفحه و خط-نقطه مربوط به مدهای داخل صفحه است. نانونوارهای لبه دندان‌های (الف) با لبه‌های AA، (ب) با لبه‌های ZZ، (ج) با لبه‌های AZAZ و (د) با لبه‌های ZAZA.

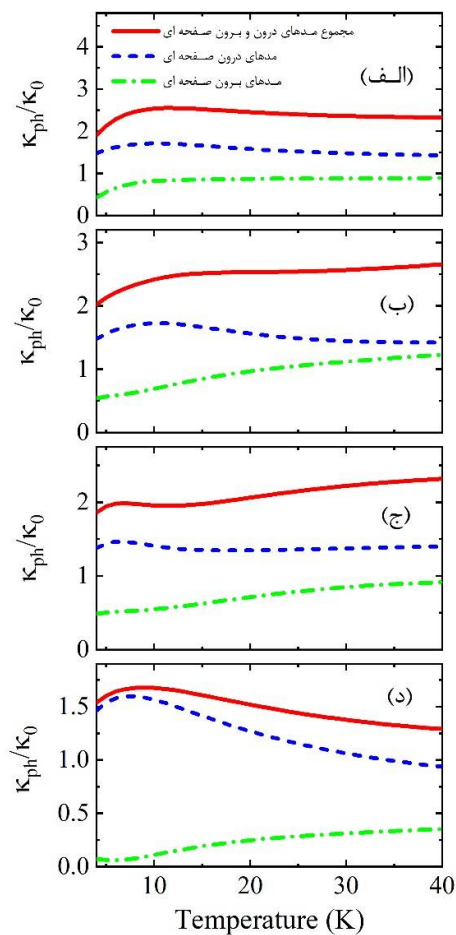
نکته جالب توجه آنکه مدهای فونونی تغییرات شدیدی نسبت به حضور بازوها و لبه‌های مختلف در مقایسه با مدهای بیرون صفحه‌ای در دماهای پایین از خود نشان می‌دهند. همچنین مقایسه ظرفیت گرمایی نانونوارهای کامل با ظرفیت گرمایی نانونوارهای لبه دندان‌های نشان

صفحه‌ای در فرکانس‌های پایین ضرایب رسانش فونونی مدهای درون صفحه‌ای بزرگ‌تر است.

به‌طور کلی رفتار مدهای فونونی درون صفحه‌ای و بیرون صفحه‌ای برحسب دما، برای ساختارهای هندسی مختلف متفاوت می‌باشد. به‌عنوان مثال نوع بازوها و زاویه اتصال آنها نیز نقش به‌سزایی در رسانش گرمایی بازی می‌کنند، برای نانونوارهای لبه دندانه‌ای با لبه‌های یکپارچه آرمچیری و یا زیگزاگی نسبت به نانونوارهایی با لبه هم‌زمان زیگزاگ و آرمچیر (مقایسه شکل 4 الف و ب با ج و د)، مقادیر بالاتری را دارا می‌باشند. از آنجا که ضرایب رسانش الکترونی نسبت به تقارن و هندسه تقارن‌ها به‌شدت تغییر می‌کند [23]. همچنین می‌توان با توجه به رفتار مختلف ساختارهای دندان‌اره‌ای و اثرات مختلف مدهای فونونی بیرون و درون صفحه‌ای، این نتایج می‌تواند در بهینه‌سازی خواص ترموالکتریکی نانوساختارهای پایه کربنی مفید واقع شود. نکته قابل توجه آنکه محاسبه سهم رسانندگی گرمایی توسط اتم‌ها و الکترون‌ها در شبکه گرافن نشان می‌دهد که تنها حدود یک درصد از انتقال انرژی توسط الکترون‌ها منتقل می‌شود [1] لذا در این مقاله از سهم الکترونی در محاسبات صرف نظر شده است.

نتیجه‌گیری

به‌طور خلاصه با استفاده از روش ثابت نیرو و روش لاندائور به‌محاسبه ضرایب عبور، ظرفیت گرمایی و ضرایب رسانش فونونی نانونوارهای لبه دندانه‌ای گرافنی با لبه‌های مختلف پرداخته‌ایم. در این بررسی که در محدوده دماهای پایین در حدود ($T < 20K$) صورت گرفته است، نقش مدهای فونونی درون صفحه‌ای و بیرون صفحه‌ای به‌تفکیک مورد بررسی قرار گرفته است. در حضور بازوهای متصل به یکدیگر با زاویه‌های 120 و 150 درجه، نمودار پاشندگی فونونی و در نتیجه آن ضرایب عبور فونونی در تمام محدوده



شکل 4. رسانش گرمایی فونونی نانونوارهای لبه دندانه‌ای گرافنی با ساختار هندسی متفاوت (در محدوده فرکانس پایین). خط ممتد مربوط به مجموع مدهای درون و بیرون صفحه‌ای، خط چین مربوط به مدهای خارج از صفحه و خط-نقطه مربوط به مدهای داخل صفحه است. نانونوارهای لبه دندانه‌ای الف) با لبه‌های AA، ب) با لبه‌های ZZ، ج) با لبه‌های AZAZ و د) با لبه‌های ZAZA.

ضریب رسانش فونونی نسبت به ظرفیت گرمایی تغییرات شدیدتری را نسبت به ساختار هندسی نشان می‌دهد. همچنین برخلاف ظرفیت گرمایی، ضرایب رسانش فونونی نسبت به نوع لبه‌ها حساس‌تر بوده و تغییرات بیشتری را نشان می‌دهد (مقایسه شکل 3 و 4). علاوه بر این به دلیل جمعیت فونونی بیشتر مدهای درون

vacancy defects, *Physical Review B* **84** (2011) 115460.

[3] P. Xiao-Fang, et al, Tunable ballistic thermal conductance of electrons in strained graphene nanoribbons, *Carbon* **100** (2016) 36-41.

[4] H. Karamitaheri, et al, Engineering enhanced thermoelectric properties in zigzag graphene nanoribbons, *Journal of Applied Physics* **111** (2012) 054501.

[5] B. Liu, et al, Thermal conductivity of silicene nanosheets and the effect of isotopic doping, *Journal of Physics D: Applied Physics* **47** (2014) 165301.

[6] E.C. Girão, et al, Structural and electronic properties of graphitic nanowiggles, *Physical Review B* **85** (2012) 235431.

[7] W. Huang, J.S. Wang, G. Liang, Theoretical study on thermoelectric properties of kinked graphene nanoribbons, *Physical Review B* **84** (2011) 045410.

[8] V.A. Saroka, et al, Band gaps in jagged and straight graphene nanoribbons tunable by an external electric field, *Journal of Physics: Condensed Matter* **27** (2015) 145305.

[9] E.C. Girão, et al, Emergence of atypical properties in assembled graphene nanoribbons, *Physical Review Letters* **107** (2011) 135501.

[10] X. Wu, X.C. Zeng, Sawtooth-like graphene nanoribbon, *Nano Research* **1** (2008) 40-45.

[11] L. Liang, E.C. Girão, Vincent Meunier, Quasiparticle band gaps of graphene nanowiggles and their magnetism on Au (111), *Physical Review B* **88** (2013) 035420.

[12] R.A. Bizard, et al, Mechanical properties and fracture patterns of graphene (graphitic) nanowiggles, *Carbon* **119** (2017) 431-437.

[13] L. Liang, et al, Enhanced thermoelectric figure of merit in assembled graphene nanoribbons, *Physical Review B* **86** (2012) 115438.

[14] E.C. Girão, E. Cruz-Silva, V. Meunier, Electronic transport properties of assembled carbon nanoribbons, *ACS nano* **6** (2012) 6483-6491.

[15] L. Liang, V. Meunier, Electronic and thermoelectric properties of assembled graphene nanoribbons with elastic strain and structural

فرکانسی به‌طور محسوسی تغییر می‌کند. نتایج محاسبات نشان می‌دهند مجموع مدهای درون صفحه‌ای و خارج از صفحه‌ای نانونوارهای لبه دندان‌ای با لبه‌های یکپارچه از آرمچیر یا زیگزاگ بیشتر از مجموع مدهای درون صفحه‌ای و خارج از صفحه‌ای نانونوارهای لبه دندان‌ای با لبه‌های ترکیبی از آرمچیر و زیگزاگ می‌باشد. همچنین تأثیر ساختار و هندسه لبه، طول بازوها و زاویه اتصال بازوها در ضریب عبور فونونی بسیار چشمگیر است. نتایج ما، نقش متفاوتی را برای دو نوع مد فونونی درون صفحه‌ای و بیرون صفحه‌ای در ظرفیت گرمایی و ضریب رسانش فونونی در مقایسه با نانونوارهای کامل نشان می‌دهد. تأثیر ساختار لبه و زاویه اتصال بازوها در رسانش گرمایی بر روی رسانش گرمایی فونونی بیشتر از ظرفیت گرمایی می‌باشد، به‌صورتی که تفاوت زیادی بین سهم مدهای درون و بیرون صفحه‌ای در رسانش گرمایی هر چهار ساختار مشاهده می‌شود، البته در هر دو کمیت ظرفیت گرمایی و رسانش گرمایی، مدهای درون صفحه‌ای سهم بیشتری را دارا هستند. همچنین تغییرات مدهای درون و بیرون صفحه‌ای ظرفیت گرمایی و رسانش گرمایی فونونی نانونوارهای لبه دندان‌ای گرافنی در مقایسه با این کمیت‌ها در نانونوارهای کامل و نانونوارهایی که دارای نقص تهی‌جای‌های گسترده هستند بیشتر است (به‌ویژه در دماهای پایین). این نتایج می‌تواند در بهینه‌سازی و طراحی نانو قطعات الکترونیکی و ترموالکتریکی مفید باشد.

مرجع‌ها

[1] A.A. Balandin, Thermal properties of graphene and nanostructured carbon materials, *Nature materials* **10** (2011) 569-581.

[2] H. Zhang, L. Geunsik, C. Kyeongjae, Thermal transport in graphene and effects of

- [20] R. Saito, G. Dresselhaus, M.S. Dresselhaus, *Physical properties of carbon nanotubes London*, Imperial college press, (1998).
- [21] J. Zimmermann, P. Pasquale C. Gianaurelio, Vibrational modes and low-temperature thermal properties of graphene and carbon nanotubes: Minimal force-constant model, *Physical Review B* **78** (2008) 045410.
- [22] Z. Ferdows, R. Lake, Thermoelectric properties of Bi₂Te₃ atomic quintuple thin films, *Applied Physics Letters* **97** (2010) 212102.
- [23] C. Pan, J. He, D. Yang, K. Chen, Thermal Transport of Flexural and In-Plane Phonons Modulated by Bended Graphene Nanoribbons, *Journal of Nanomaterials* **2016** (2016) 6093673.
- dislocation. *Applied Physics Letters* **102** (2013) 143101.
- [16] H. Sevinçli, et al, A bottom-up route to enhance thermoelectric figures of merit in graphene nanoribbons, *Scientific reports* **3** (2013) 1228.
- [17] W. Huang, J.S. Wang, G. Liang, Theoretical study on thermoelectric properties of kinked graphene nanoribbons, *Physical Review B* **84** (2011) 045410.
- [18] P. Yang, et al, Thermal management performance of bent graphene nanoribbons, *Rsc Advances* **3** (2013) 17349-17354.
- [19] ر. فرقدان، ف. مسعودی نیا، اثر تهی‌جای‌های گسترده بر خواص گرمایی نانونوارهای آرمچیری گرافن، مجله پژوهش فیزیک ایران **18** (1397) 329-322.